

# P16/Ki-67 蛋白双染在未明确意义的非典型鳞状上皮细胞人群中分流作用

郭 珍<sup>1</sup>,赵冬梅<sup>1</sup>,贾漫漫<sup>1</sup>,郭兰伟<sup>1</sup>,郭沛沛<sup>2</sup>,陈 琼<sup>1</sup>,吴泽妮<sup>3</sup>,孙喜斌<sup>1</sup>,  
张韶凯<sup>1</sup>,张建功<sup>1</sup>

(1. 郑州大学附属肿瘤医院/河南省肿瘤医院,河南 郑州 450008; 2. 郑州大学第二附属医院,河南 郑州 450014; 3. 国家癌症中心/国家肿瘤临床医学研究中心/中国医学科学院北京协和医学院肿瘤医院,北京 100021)

**摘要:**[目的] 探讨 p16/Ki-67 免疫细胞双染法对宫颈细胞学为未明确意义的非典型鳞状上皮细胞(ASCUS)人群的分流效果。[方法] 以 2016 年 4 月至 12 月在郑州大学第二附属医院妇科门诊就诊且被诊断为 ASCUS 的 135 例妇女为研究对象,收集其宫颈脱落细胞标本,进行 14 种高危型 HPV DNA 及 p16/Ki-67 蛋白检测,所有妇女均进行阴道镜活检和病理学检查。以组织病理学诊断为金标准,分别计算 p16/Ki-67 双染、高危型 HPV(HR-HPV)和 HPV16/18 检测的敏感性、特异性、阳性预测值(PPV)、阴性预测值(NPV)、转诊率及其 95%CI。[结果] 135 例 ASCUS 妇女平均年龄为(46.48±10.19)岁(23~64 岁),其中诊断为宫颈上皮内瘤变(CIN)1 级者 7 例,诊断为 CIN2 级及以上(CIN2+)者 22 例。随异常病理结果的严重性增加,p16/Ki-67 双染、HR-HPV 和 HPV16/18 检出阳性率均升高( $P<0.001$ )。以 CIN2+作为疾病终点指标时,p16/Ki-67 双染对 ASCUS 人群分流的敏感性、特异性、PPV、NPV 和转诊率分别为 86.4%(95%CI: 66.7%~95.3%)、85.8%(95%CI: 78.2%~91.1%)、54.3%(95%CI: 38.2%~69.5%)、97.0%(95%CI: 91.6%~99.0%)和 25.9%,与之相比,HR-HPV 检测敏感性稍高[95.5%(95%CI: 78.2%~99.2%)],但特异性较低[68.1%(95%CI: 59.1%~76.0%)],转诊率较高(42.2%),且差异均有统计学意义( $P<0.05$ )。与 p16/Ki-67 双染法相比,HPV16/18 的特异性较高[92.9%(95%CI: 86.7%~96.4%)],但敏感性很低[59.1%(95%CI: 38.7%~76.7%)].按照 45 岁进行年龄分层后,p16/Ki-67 双染在≥45 岁组 ASCUS 人群中分流效果要更好,敏感性为 81.8%(95%CI: 52.3%~94.9%),特异性为 95.5%(95%CI: 87.5%~98.4%)。[结论] P16/Ki-67 双染检测在保持高敏感性的同时,有更高的特异性,因此对 ASCUS 人群的分流效果优于 HR-HPV 和 HPV16/18。P16/Ki-67 双染检测具有简便、客观、高效、易于重复的特点,可为 ASCUS 人群提供一种新的分流方法。

**关键词:**人乳头瘤病毒;p16;Ki-67;未明确意义的非典型鳞状上皮细胞;分流

中图分类号: R737.33 文献标识码: A 文章编号: 1004-0242(2021)08-0635-06

doi:10.11735/j.issn.1004-0242.2021.08.A010

## Dual Staining of P16/Ki-67 Proteins in Triaging Women with Atypical Squamous Cells of Undetermined Significance

GUO Zhen<sup>1</sup>, ZHAO Dong-mei<sup>1</sup>, JIA Man-man<sup>1</sup>, GUO Lan-wei<sup>1</sup>, GUO Pei-pei<sup>2</sup>,

CHEN Qiong<sup>1</sup>, WU Ze-ni<sup>3</sup>, SUN Xi-bin<sup>1</sup>, ZHANG Shao-kai<sup>1</sup>, ZHANG Jian-gong<sup>1</sup>

(1. Affiliated Cancer Hospital of Zhengzhou University, Henan Cancer Hospital, Zhengzhou 450008, China; 2.The Second Affiliated Hospital of Zhengzhou University, Zhengzhou 450014, China;

3. National Cancer Center/National Clinical Research Center for Cancer/Cancer Hospital, Chinese Academy of Medical Science and Peking Union Medical College, Beijing 100021, China)

**Abstract:** [Purpose] To evaluate the immunocytochemistry dual staining of p16/Ki-67 proteins in triaging women with atypical squamous cells of undetermined significance(ASCUS). [Methods] A total of 135 women diagnosed as ASCUS in the Second Affiliated Hospital of Zhengzhou University from April to December 2016 were enrolled in the study. HPV DNA detection and p16/Ki-67 dual staining were performed respectively. All patients underwent colposcopy biopsy and pathological examination. The histopathological result was used as the gold standard, the sensitivity, specificity, positive predictive value(PPV), negative predictive value(NPV), referral rate of p16/Ki-67 dual staining, high risk HPV(HR-HPV) and HPV 16/18 were calculated. [Results] The mean age of patients was (46.48±10.19) years old (23~64). Seven women were diagnosed as cervical intraepithelial neoplasia 1(CIN1), 20 were diagnosed CIN2+. The positive rates of p16/Ki-67 dual staining,

收稿日期:2020-11-09;修回日期:2021-01-28

基金项目:国家自然科学基金(81502475),河南省科技攻关计划项目(192102310105),河南省高等学校  
重点科研项目计划(20A330005)

通信作者:张建功,E-mail:jiangongzhang111@126.com 张韶凯,E-mail:shaokaizhang@126.com

HR-HPV DNA 和 HPV16/18 增加与病理诊断的分级( $P<0.001$ )。敏感性、特异性、PPV、NPV 和转诊率的 p16/Ki-67 双染色对于预测 CIN2+ 患者中的 ASCUS 的敏感性、特异性、PPV、NPV 和转诊率分别为 86.4% (95%CI: 66.7%~95.3%)、85.8% (95%CI: 78.2%~91.1%)、54.3% (95%CI: 38.2%~69.5%)、97.0% (95%CI: 91.6%~99.0%)、25.9%，分别。与 p16/Ki-67 双染色相比，HR-HPV DNA 有更高的敏感性 [95.5% (95%CI: 78.2%~99.2%)] 但较低的特异性 [68.1% (95%CI: 59.1%~76.0%)] 和较高的转诊率 (42.2%)；HPV 16/18 有较高的特异性 [92.9% (95%CI: 86.7%~96.4%)] 但较低的敏感性 [59.1% (95%CI: 38.7%~76.7%)]。在年龄分层后，p16/Ki-67 双染色在年龄 ≥45 岁的 ASCUS 患者中具有更好的分诊效果；对应的敏感性和特异性为 81.8% (95%CI: 52.3%~94.9%) 和 95.5% (95%CI: 87.5%~98.4%)，分别。**[结论]** P16/Ki-67 双染色比 HR-HPV DNA 和 HPV16/18 检测更适合于分诊 ASCUS 女性，简单、客观、高效且经济，可以成为一种新的分诊方法。

**Key words:** human papilloma virus; p16; Ki-67; atypical squamous cells of undetermined significance; triage

液基细胞学作为宫颈癌筛查最重要的方法，其发明和应用使宫颈癌的发生率和死亡率都明显下降<sup>[1]</sup>。在宫颈癌筛查中，约 3%~10% 的妇女细胞学诊断为具有未明确意义的非典型鳞状上皮细胞 (atypical squamous cells of undetermined significance, ASCUS)<sup>[2-3]</sup>。许多年来高危型 HPV (high-risk human papillomavirus, HR-HPV)DNA 检测一直作为分流 ASCUS 人群的一个较好方法<sup>[4]</sup>，但研究显示 HPV DNA 在发现高级别宫颈上皮内瘤变的特异性较低<sup>[5]</sup>。目前一些细胞生物标志物被认为在提高宫颈癌筛查特异性方面具有一定的潜力<sup>[6]</sup>。其中，周期蛋白依赖性激酶抑制剂 p16INK4a(p16)被认为是具有潜力的细胞蛋白标志物之一<sup>[7-8]</sup>。P16 过表达被认为是 HPV E7 介导的 E2F 功能激活信号<sup>[9]</sup>。Ki-67 是细胞增殖标志物<sup>[10]</sup>，其与 p16 在正常情况下不能同时表达<sup>[11]</sup>。P16 和 Ki-67 同时表达则表示 HPV 转化细胞正在进行增殖，该指标为区分潜在高级别病变妇女提供了客观的检测依据，并且不依赖于细胞形态学检查的结果，简单易用，提高了诊断效率<sup>[12-13]</sup>。本次研究目的是通过对 p16/Ki-67 双染、HR-HPV DNA、HPV16/18 检测在 ASCUS 人群中的分流效果进行比较，探讨 p16/Ki-67 双染法用于 ASCUS 人群分流的临床价值。

## 1 资料与方法

### 1.1 研究对象

以 2016 年 4 月至 12 月在郑州大学第二附属医院妇科就诊的 20~65 岁且细胞学检测结果为 AS-

CUS 的妇女作为研究对象，在签署《知情同意书》后，采集其宫颈上皮脱落细胞和宫颈组织以进行相关检测。要求入选者没有临床怀孕的可疑症状，同时无宫颈外科手术史。该研究已获得郑州大学生命科学伦理审查委员会的批准(20150305)。

### 1.2 标本收集

首先，纳入研究的妇女由专科医生进行妇科检查，同时采用扫帚样刷子收集宫颈上皮脱落细胞置于转移介质 PreservCyt® 液体(美国 Hologic 公司)中，以进行相关实验室检测。其次，所有研究对象由有经验的阴道镜医生对其进行阴道镜检查，镜下暴露充分且存在病变部位者则异常处取活检，无病变者不取活检；镜下暴露不充分者则进行宫颈管搔刮术 (endocervical curettage, ECC)。

### 1.3 实验室检测

以下所有检测和诊断过程均严格遵守盲法原则。

#### 1.3.1 液基细胞学检测 (LBC, ThinPrep; Hologic-Cytex, Marlborough, Mass)

将采集的宫颈脱落细胞标本制片染色后按照 Bethesda 分类系统进行阅片诊断。液基细胞学片子由两名诊断经验丰富的细胞学医师独立阅片，不一致的片子由第三名高年资医师进行判读。

#### 1.3.2 HPV DNA 检测

从保存宫颈脱落细胞的样本混合液中分出 400 μl 液体，采用 cobas 4800 进行 HPV DNA 检测。Cobas 4800 是一种通过聚合酶链反应和核酸杂交技术扩增检测 HR-HPV DNA 的方法。每次试验均设有阴性和阳性对照。检测 CT 值 >40，表示结果为阴性，

反之为阳性。该技术能够同时检测 14 种高危型 HPV，包括 HPV 16、18、31、33、35、39、45、51、52、56、58、59、66 和 68 型，并能对 HPV16 和 18 进行分型。

### 1.3.3 P16/Ki-67 检测

采用德国 MTM 实验室研发的一项名为 CINtec PLUS 的新技术，使用抗 P16(E6H4)/Ki67(274-11 AC3) 单克隆抗体鸡尾酒试剂 (CINtec® Plus Cytology Kit，厂家：Ventana Medical Systems, Inc.)，利用免疫细胞化学双染法原理进行 p16/Ki-67 检测。将采集的宫颈脱落细胞标本制片后，显微镜下观察，若视野中出现至少 1 个宫颈细胞的细胞质呈红色 (p16)，细胞核呈黄色或棕色 (Ki-67) 则判读为阳性；其他为阴性<sup>[14]</sup>。每次试验均设有阳性和阴性对照，同时对实验所有参与人员进行统一培训，内容包括实验操作流程、过程注意事项、试验结果判读等。

### 1.3.4 组织病理学诊断

组织病理学诊断在郑州大学第二附属医院病理科进行，阴道镜下所取的活检组织或 ECC 标本进行制片后，采用 CIN (宫颈上皮内瘤样病变) 分级报告系统进行诊断，同时，由郑州大学附属肿瘤医院有经验的病理医师对诊断结果进行复核。

### 1.4 统计学处理

以最终病理学诊断结果为金标准，计算 p16/Ki-67 双染法、HR-HPV、HPV 16/18 对 CIN2 级及以上病变 (CIN2+) (包括 CIN2、CIN3、鳞状细胞癌、腺癌) 检出的敏感性、特异性、阳性预测值 (positive predictive value, PPV)、阴性预测值 (negative predictive value, NPV) 及其 95%CI 值、转诊率。各指标间的差异比较采用 McNemar 法进行分析。转诊率是指 ASCUS 人群中 p16/Ki-67、HR-HPV、HPV16/18 分别阳

性者被转诊阴道镜的比例。一项纳入 17 个人群研究共 30 207 名女性的综合分析结果显示，CIN3+ 在 45~49 岁年龄组人群中阳性率最高<sup>[15]</sup>，同时，考虑到女性一般在 45 岁后将会受到围绝经期的影响，故以 45 岁为界值条件进行年龄分层，计算各筛查方法对 ASCUS 人群的分流效果 (Figure 1)。P<0.05 表示差异有统计学意义。

## 2 结 果

### 2.1 P16/Ki-67 蛋白、HR-HPV 和 HPV16/18 检出阳性率

共 537 位女性签署《知情同意书》，纳入本次研究的 ASCUS 妇女共 135 例 (比例为 25.1%)，平均年龄为 (46.48±10.19) 岁 (23~64 岁)，106 人 (78.5%) 病理学结果正常，7 例 (5.2%) 被诊断为 CIN1，22 例

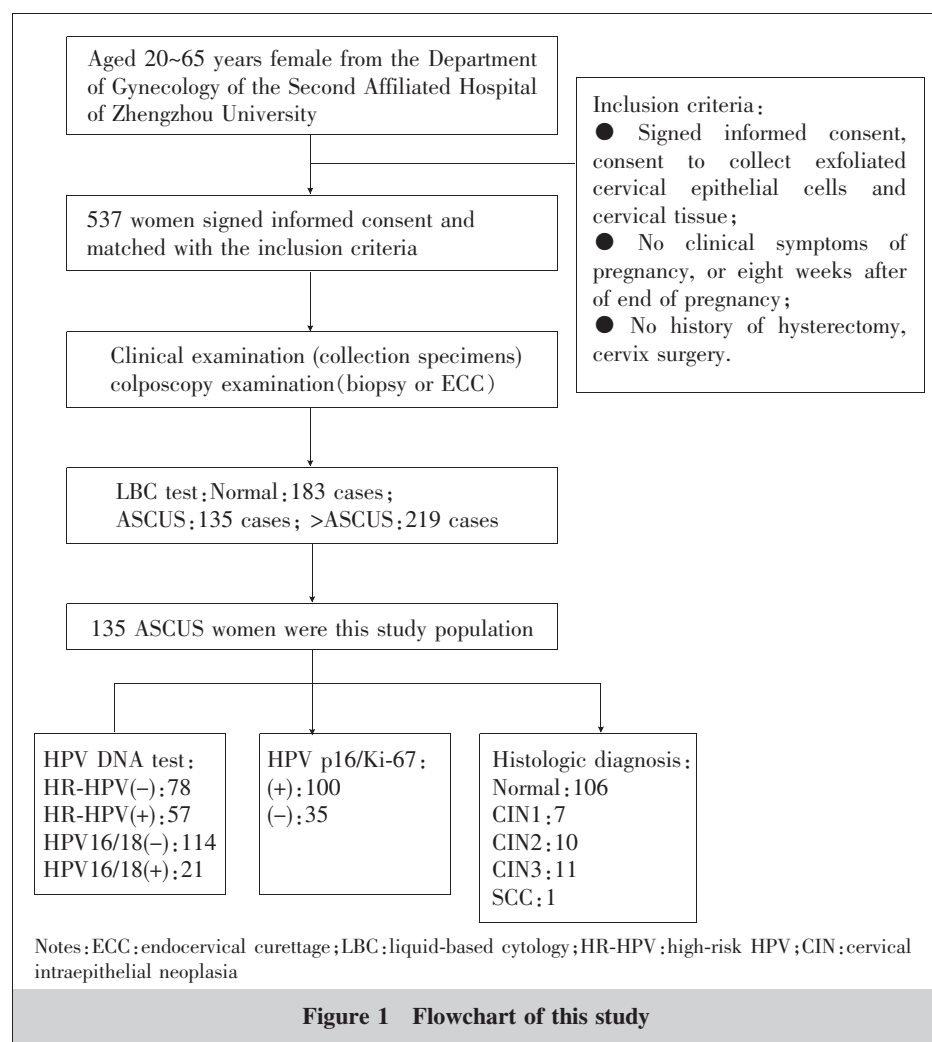


Figure 1 Flowchart of this study

(16.3%)被诊断为CIN2+。随组织病理结果的严重性增加,p16/Ki-67、HR-HPV、HPV16/18的阳性率均升高( $P<0.001$ )(Table 1)。

## 2.2 不同筛查方法对ASCUS人群的分流效果评价

以CIN2+作为疾病终点指标,计算不同筛查方法分流ASCUS人群的敏感性、特异性、PPV和NPV。结果显示,p16/Ki-67双染法的敏感性、特异性、PPV和NPV分别为:86.4%(95%CI:66.7%~95.3%)、85.8%(95%CI:78.2%~91.1%)、54.3%(95%CI:38.2%~69.5%)、97.0%(95%CI:91.6%~99.0%)。HR-HPV与p16/Ki-67双染法相比,分流ASCUS人群的敏感性(95.5%,95%CI:78.2%~99.2%)稍高,但差异无统计学意义( $P>0.05$ ),特异性(68.1%,95%CI:59.1%~76.0%)较低,转诊率也高(42.2%),差异有统计学意义( $P<0.05$ )。HPV 16/18的分流效果虽有高的特异性(92.9%,95%CI:86.7%~96.4%),但敏感性很低(59.1%,38.7%~76.7%)(Table 2;Figure 2)。

按照45岁进行年龄分层后,在年龄<45岁(58例)组和 $\geq 45$ 岁(77例)组,被诊断为CIN2+者分别为11例。P16/Ki-67双染法在年龄<45岁的ASCUS人群中分流效果的敏感性为90.9%(95%CI:62.3%~98.4%),高于 $\geq 45$ 岁组的81.8%(95%CI:52.3%~94.9%),但差异无统计学意义,然而p16/Ki-67双染法在年龄<45岁组的特异性72.3%(95%CI:58.2%~83.1%)明显低于 $\geq 45$ 岁组95.5%(95%CI:87.5%~98.4%),且差异有统计学意义( $P<0.05$ )(Table 3)。

Table 2 Triage effect of different screening methods for women with ASCUS(95% CI)

Screening methods	Positive	Sensitivity(%)	Specificity(%)	PPV(%)	NPV(%)	Referral rate(%)
HR-HPV	57	95.5(78.2~99.2)	68.1(59.1~76.0)	36.8(25.5~49.8)	98.7(93.1~99.8)	42.2
P16/Ki-67	35	86.4(66.7~95.3)	85.8(78.2~91.1)*	54.3(38.2~69.5)	97.0(91.6~99.0)	25.9*
HPV16/18	21	59.1(38.7~76.7)*	92.9(86.7~96.4)*	61.9(40.9~79.3)*	92.1(85.7~95.8)*	15.6*

Notes: HR-HPV: High-risk HPV; ASCUS: atypical squamous cells of undetermined significance; CIN: cervical intraepithelial neoplasia; PPV: positive predictive value; NPV: negative predictive value; \*: compared with HR-HPV,  $P<0.05$

Table 3 Triage effect of different screening methods after age stratification for women with ASCUS, using CIN2+ as the endpoint(95% CI)

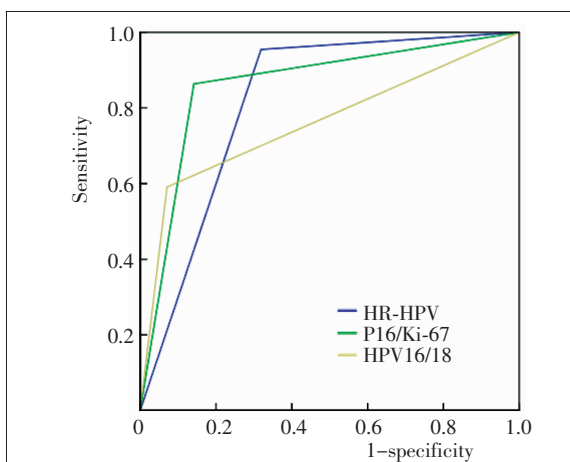
Age(years)	Positive	Sensitivity(%)	Specificity(%)	PPV(%)	NPV(%)	Referral rate(%)
<45						
HR-HPV	30	100.0(74.1~100.0)	59.6(45.3~72.4)	36.7(21.9~54.5)	100.0(87.9~100.0)	51.7
P16/Ki-67	23	90.9(62.3~98.4)	72.3(58.2~83.1)	43.5(25.6~63.2)	97.1(85.5~99.5)	39.7
HPV16/18	10	45.5(21.3~72.0)*	89.4(77.4~95.4)*	50.0(23.7~76.3)	87.5(75.3~94.1)	17.2*
$\geq 45$						
HR-HPV	27	90.9(62.3~98.4)	74.2(62.6~83.3)	37.0(21.5~55.8)	98.0(89.5~99.7)	35.1
P16/Ki-67	12	81.8(52.3~94.9)	95.5(87.5~98.4)*	75.0(46.8~91.1)*	96.9(89.5~99.2)	15.6*
HPV16/18	11	72.7(43.4~90.3)	95.5(87.5~98.4)*	72.7(43.4~90.3)*	95.5(87.5~98.4)	14.3*

Note: \*: compared with HR-HPV,  $P<0.05$

Table 1 The positive rates of p16/Ki-67 protein, HR-HPV and HPV16/18 for 135 women with ASCUS

Histopathology	P16/Ki-67		HR-HPV		HPV 16/18		
	Positive	Positive rate(%)	Positive	Positive rate(%)	Positive	Positive rate(%)	
Normal	106	14	21.7	30	21.7	7	6.6
CIN1	7	2	28.6	6	85.7	1	14.3
CIN2	10	9	80.0	9	90.0	4	40.0
CIN3	11	9	90.9	11	100.0	9	81.8
SCC	1	1	100.0	1	100.0	0	0.0
Total	135	35	32.6	57	42.2	21	15.6
$\chi^2$		46.475		35.679		38.931	
P		<0.001		<0.001		<0.001	

Notes: HR-HPV: high-risk HPV; CIN: cervical intraepithelial neoplasia



Notes: The area under the curve of the three methods: 0.760 for HPV16/18, 0.818 for HR-HPV, 0.861 for p16/Ki-67

Figure 2 ROC curves of three kinds of screening methods on the triage of ASUCS (using CIN2+ as the endpoint)

### 3 讨 论

参加宫颈癌筛查的妇女中，细胞学检查结果为 ASCUS 者最为常见，而其组织病理学结果从炎症改变到宫颈癌均可见，如全部进行阴道镜转诊，势必造成大量的过度诊断，因此，迫切需要探寻一种可有效分流该类人群的新方法。近年来，HPV DNA 检测在许多国家已作为宫颈癌筛查的方法<sup>[16-18]</sup>，且用于 ASCUS 人群的分流管理，该方法虽有较高的敏感性，但研究表明 HPV DNA 阳性者中绝大多数是 HPV 一过性感染，有 90%以上的感染者在 8~24 个月内可以自然转归<sup>[19]</sup>，因此，HPV DNA 检测的特异性较低，其用于 ASCUS 人群分流时容易造成过度转诊阴道镜。

本研究结果显示，细胞学检查结果为 ASCUS 的比例为 25.1%，高于宫颈癌人群筛查结果<sup>[20-21]</sup>。ASCUS 人群中 CIN2+ 的比例为 16.3%，高于 Watson 等<sup>[22]</sup>以宫颈筛查人群为研究对象的结果(11.8%)，与同选择医院就诊患者为研究对象的 Zhu 等<sup>[23]</sup>研究结果相近(18.0%)。P16/Ki-67 双染的阳性率随异常病理结果的严重性增加而升高，这与相关研究一致<sup>[24-25]</sup>。Peeters 等<sup>[26]</sup>对 p16/Ki-67 双染法与 HR-HPV DNA 分流 ASCUS 的效果比较进行了 Meta 分析，结果显示 p16/Ki-67 双染对 ASCUS 的分流效果，与 HR-HPV DNA 有一样的敏感性，但有更高的特异性。White 等<sup>[27]</sup>为比较 p16/Ki-67 双染法与 HR-HPV DNA 对 LSIL/ASCUS 的分流效果进行了 2 年的前瞻性研究，结果显示 HR-HPV DNA 比 p16/Ki-67 双染法有更高的敏感性(95.8% vs 79.2%)，但 p16/Ki-67 双染法有更高的特异性(75.2% vs 40.4%)，提示 p16/Ki-67 双染与 HR-HPV DNA 联合对 ASCUS 人群会有更好的分流效果。本研究中，以 CIN2+ 作为疾病终点指标时，p16/Ki-67 双染法分流 ASCUS 人群的敏感性稍低于 HR-HPV DNA，但特异性高于 HR-HPV，HPV16/18 虽有高的特异性，但敏感性较低。按照 45 岁进行年龄分层后，p16/Ki-67 双染法在两个年龄组间的敏感性差异无统计学意义。在年龄≥45 岁的 ASCUS 人群中，分流效果的特异性明显要高于<45 岁组。因此，p16/Ki-67 双染法在≥45 岁的 ASCUS 人群中分流效果要更好。年龄分层后，各层诊断为 CIN2+ 者比例均较低，双染法在不同年龄层的分流

效果还需通过增加样本量进一步验证。

综上所述，p16/Ki-67 双染检测在识别 ASCUS 人群的宫颈癌前病变及宫颈癌时，与 HR-HPV 和 HPV 16/18 检测相比，在保持高敏感性的同时，实现了更高的特异性，可以将转诊阴道镜的人数减少约 40%，同时，其检测不依赖于细胞的形态特征，具有客观性和重复性好的特点，因此，p16/Ki-67 双染法可作为 ASCUS 人群分流的有效方法。

### 参 考 文 献：

- [1] Curry SJ,Krist AH,Owens DK,et al. Screening for cervical cancer:US preventive services task force recommendation statement[J]. JAMA,2018,320(7):674-686.
- [2] Catteau X,Simon P,Noël JC. Evaluation of the oncogenic human papillomavirus DNA test with liquid-based cytology in primary cervical cancer screening and the importance of the ASC/SIL ratio:a Belgian study[J]. ISRN Obstet Gynecol,2014,2014:536495.
- [3] Wang YZ,Gao SS,Wang YX,et al. The efficiency of type-specific high-risk human papillomavirus models in the triage of women with atypical squamous cells of undetermined significance[J]. Cancer Manag Res,2020,12:5265-5275.
- [4] Louvanto K,Rintala MA,Syrjänen KJ,et al. Genotype-specific persistence of genital human papillomavirus (HPV) infections in women followed for 6 years in the Finnish family HPV study[J]. J Infect Dis,2010,202(3):436-444.
- [5] Arbyn M,Sasieni P, JLM Meijer C,et al. Chapter 9:clinical applications of HPV testing:a summary of meta-analyses[J]. Vaccine,2006,24(Suppl 3):S3/78-89.
- [6] Sahasrabuddhe VV,Luhn P,Wentzensen N. Human papillomavirus and cervical cancer:biomarkers for improved prevention efforts[J]. Future Microbiol,2011,6(9):1083-1098.
- [7] Denton KJ,Bergeron C,Klement P,et al. The sensitivity and specificity of p16 (INK4a) cytology vs HPV testing for detecting high-grade cervical disease in the triage of ASC-US and LSIL pap cytology results [J]. Am J Clin Pathol,2010,134(1):12-21.
- [8] Roelens J,Reuschenbach M,von Knebel Doeberitz M,et al. P16(INK4a) immunocytochemistry versus human papilloma virus testing for triage of women with minor cytologic abnormalities:a systematic review and meta-analysis [J]. Cancer Cytopathol,2012,120(5):294-307.
- [9] von Knebel Doeberitz M. New molecular tools for efficient screening of cervical cancer [J]. Dis Markers,2001,17(3):

- 123–128.
- [10] Iaconis L, Hyjek E, Ellenson LH, et al. P16 and Ki-67 immunostaining in atypical immature squamous metaplasia of the uterine cervix; correlation with human papillomavirus detection[J]. Arch Pathol Lab Med, 2007, 131(9): 1343–1349.
- [11] Dabić MM, Hlupić L, Babić D, et al. Comparison of polymerase chain reaction and catalyzed signal amplification in situ hybridization methods for human papillomavirus detection in paraffin-embedded cervical preneoplastic and neoplastic lesions[J]. Arch Med Res, 2004, 35(6): 511–516.
- [12] Ikenberg H, Bergeron C, Schmidt D, et al. Screening for cervical cancer precursors with p16/Ki-67 dual-stained cytology: results of the PALMS study [J]. J Natl Cancer Inst, 2013, 105(20): 1550–1557.
- [13] Wentzensen N, Fetterman B, Tokugawa D, et al. Interobserver reproducibility and accuracy of p16/Ki-67 dual-stain cytology in cervical cancer screening[J]. Cancer Cytopathol, 2014, 122(12): 914–920.
- [14] 王海瑞, 廖光东, 陈汶, 等. P16/Ki-67 免疫细胞化学双染在宫颈癌筛查中的应用价值[J]. 中华肿瘤杂志, 2017, 39(8): 636–640.
- Wang HR, Liao GD, Chen W, et al. Clinical value of p16/Ki-67 immunocytochemical dual staining in cervical cancer screening[J]. Chinese Journal of Oncology, 2017, 39(8): 636–640.
- [15] Zhao FH, Lewkowitz AK, Hu SY, et al. Prevalence of human papillomavirus and cervical intraepithelial neoplasia in China: a pooled analysis of 17 population-based studies [J]. Int J Cancer, 2012, 131(12): 2929–2938.
- [16] Mezei AK, Armstrong HL, Pedersen HN, et al. Cost-effectiveness of cervical cancer screening methods in low- and middle-income countries: a systematic review[J]. Int J Cancer, 2017, 141(3): 437–446.
- [17] Inoue M, Okamura M, Hashimoto S, et al. Adoption of HPV testing as an adjunct to conventional cytology in cervical cancer screening in Japan[J]. Int J Gynaecol Obstet, 2010, 111(2): 110–114.
- [18] Katki HA, Kinney WK, Fetterman B, et al. Cervical cancer risk for women undergoing concurrent testing for human papillomavirus and cervical cytology: a population-based study in routine clinical practice[J]. Lancet Oncol, 2011, 12(7): 663–672.
- [19] Moscicki AB, Schiffman M, Burell A, et al. Updating the natural history of human papillomavirus and anogenital cancers[J]. Vaccine, 2012, 30(Suppl 5): F24–F33.
- [20] 张韶凯, 罗喜平, 李志芳, 等. 人乳头瘤病毒分型检测在宫颈癌前病变和宫颈癌筛查中的应用价值[J]. 中华肿瘤杂志, 2020, 42(3): 252–256.
- Zhang SK, Luo XP, Li ZF, et al. Performance of HPV typing test in cervical precancer lesions and cervical cancer screening [J]. Chinese Journal of Oncology, 2020, 42(3): 252–256.
- [21] Srivastava AN, Misra JS. ASCUS (atypical squamous cells of undetermined significance) in the cervical smears of women from rural population of Lucknow West[J]. J Obstet Gynaecol India, 2019, 69(Suppl 2): 165–170.
- [22] Watson M, Benard V, Lin L, et al. Provider management of equivocal cervical cancer screening results among underserved women, 2009–2011: follow-up of atypical squamous cells of undetermined significance[J]. Cancer Causes Control, 2015, 26(5): 759–764.
- [23] Zhu YH, Ren CC, Yang L, et al. Performance of p16/Ki67 immunostaining, HPV E6/E7 mRNA testing, and HPV DNA assay to detect high-grade cervical dysplasia in women with ASCUS[J]. BMC Cancer, 2019, 19(1): 271.
- [24] Yu LL, Chen W, Lei XQ, et al. Evaluation of p16/Ki-67 dual staining in detection of cervical precancer and cancers: a multicenter study in China [J]. Oncotarget, 2016, 7(16): 21181–21189.
- [25] Wentzensen N, Schwartz L, Zuna RE, et al. Performance of p16/Ki-67 immunostaining to detect cervical cancer precursors in a colposcopy referral population[J]. Clin Cancer Res, 2012, 18(15): 4154–4162.
- [26] Peeters E, Wentzensen N, Bergeron C, et al. Meta-analysis of the accuracy of p16 or p16/Ki-67 immunocytochemistry versus HPV testing for the detection of CIN2+/CIN3+ in triage of women with minor abnormal cytology [J]. Cancer Cytopathol, 2019, 127(3): 169–180.
- [27] White C, Bakhiet S, Bates M, et al. Triage of LSIL/ASC-US with p16/Ki-67 dual staining and human papillomavirus testing: a 2-year prospective study[J]. Cytopathology, 2016, 27(4): 269–276.